3.3. Насыщение интенсивности в филаменте. Баланс керровской фокусировки и дефокусировки в плазме.

Оптическая сила нелинейных линз.

Оптическая сила нелинейных линз

$$2ik\frac{\partial A}{\partial z} = \Delta_{\perp}A + \frac{2k^2 \Delta n_{nl}}{n_0}A$$

$$\Delta n_{nl} = \Delta n_{Kr} + \Delta n_p$$

Нелинейный набег фазы:

$$2ik\frac{\partial A}{\partial z} = \frac{2k^2 \Delta n_{nl}}{n_0} A$$

$$A = A_0 e^{i\varphi_{nl}}$$

$$2ikA_0e^{i\varphi_{nl}}i\frac{\partial\varphi_{nl}}{\partial z} = \frac{2k^2\Delta n_{nl}}{n_0}A_0e^{i\varphi_{nl}}$$

$$-\frac{\partial \varphi_{nl}}{\partial z} = \frac{k\Delta n_{nl}}{n_0}$$

$$\varphi_{nl}(r,z,t) = -k_0 \int_0^z \Delta n_{nl}(r,z',t) dz'$$

Оптическая сила нелинейных линз

$$\varphi_{nl}(r,z,t) = -k_0 \int_0^z \Delta n_{nl}(r,z',t) dz'$$

Приращения показателя преломления, наведенные излучением

$$\Delta n_{nl}(r,z,t') = \Delta n_{nl}(r=0,z,t') + \frac{1}{2} \frac{\partial^2 \Delta n_{nl}(r,z,t')}{\partial r^2} \bigg|_{r=0} r^2$$
 Керровская / плазменная

Набег фазы на оси:
$$\varphi_{nl}(r,z,t) = \varphi_{nl}(r=0,z,t) + \frac{1}{2} \frac{\partial^2 \varphi_{nl}(r,z,t)}{\partial r^2} \bigg|_{r=0} r^2$$

По аналогии с геометрической фокусировкой

$$A_0 \exp\left\{-\frac{r^2}{2a_0^2}\right\} \exp\left(ik_0 \frac{r^2}{2F}\right) \qquad \varphi = k_0 \frac{r^2}{2F} = k_0 D \frac{r^2}{2}$$

$$\varphi = k_0 \frac{r^2}{2F} = k_0 D \frac{r^2}{2}$$

$$\varphi_{nl}(r,z,t) = \varphi_{nl}(r=0,z,t) + k_0 D_{nl}(z,t) \frac{r^2}{2}$$

$$D_{nl}(z,t) = \frac{1}{k_0} \frac{\partial^2 \varphi_{nl}(z,t)}{\partial r^2}$$

Оптическая сила нелинейных линз в параболическом приближении

$$D_{nl}(z,t) = \frac{1}{k_0} \frac{\partial^2 \varphi_{nl}(z,t)}{\partial r^2}$$

$$D_{nl}(z,t) = \frac{1}{k_0} \frac{\partial^2 \varphi_{nl}(z,t)}{\partial r^2} \qquad \varphi_{nl}(r,z,t) = -k_0 \int_0^z \Delta n_{nl}(r,z',t) dz'$$

$$D_{nl}(z,t) = -\int_{0}^{z} \left. \frac{\partial^{2} \Delta n_{nl}(r,z',t)}{\partial r^{2}} \right|_{r=0} dz'$$

Оптическая сила Керровской линзы на оси филамента:

$$\Delta n_{Kr} = n_2 I \approx n_2 I_{fil} \exp \left\{-\frac{r^2}{r_{fil}^2}\right\} \approx n_2 I_{fil} \left(1 - \frac{r^2}{r_{fil}^2}\right)$$

$$D_{Kr} = \frac{2 n_2 I_{fil} z}{r_{fil}^2} > 0$$

Оптическая сила плазменной линзы на оси филамента:

$$D_{nl}(z,t) = -\int_{0}^{z} \left. \frac{\partial^{2} \Delta n_{nl}(r,z',t)}{\partial r^{2}} \right|_{r=0} dz'$$

$$\Delta n_{p} = -\frac{\omega_{p}^{2}}{2n_{0}\omega_{0}^{2}} = -\frac{e^{2}N_{e}}{2n_{0}\omega_{0}^{2}m_{e}\varepsilon_{0}} \approx -\frac{e^{2}N_{e0}\left(1 - \frac{r^{2}}{r_{pl}^{2}}\right)}{2n_{0}\omega_{0}^{2}m_{e}\varepsilon_{0}}$$

$$\approx -\frac{e^2 N_{e0} \left(1 - \frac{r^2}{r_{pl}^2}\right)}{2n_0 \omega_0^2 m_e \varepsilon_0}$$

$$N_e \approx N_{e0} \exp \left\{-\frac{r^2}{r_{pl}^2}\right\} \approx N_{e0} \left(1 - \frac{r^2}{r_{pl}^2}\right)$$

$$D_{pl} \approx -\frac{e^2 N_{e0} z}{n_0 \omega_0^2 m_e \varepsilon_0 r_{pl}^2} < 0$$

Баланс керровской самофокусировки и плазменной дефокусировки

$$D_{Kr} = \frac{2 n_2 I_{fil} z}{r_{fil}^2} > 0$$

$$D_{pl} \approx -\frac{e^2 N_{e0} z}{n_0 \omega_0^2 m_e \varepsilon_0 r_{pl}^2} < 0$$

$$D_{nl} = D_{Kr} + D_{pl} = 0$$

$$\frac{2 n_2 I_{fil} z}{r_{fil}^2} = \frac{e^2 N_{e0} z}{n_0 \omega_0^2 m_e \varepsilon_0 r_{pl}^2}$$

Условие насыщения интенсивности (intensity clamping):

$$\frac{n_2 I_{fil}}{r_{fil}^2} = \frac{e^2 N_{e0}}{2 n_0 \omega_0^2 m_e \varepsilon_0 r_{pl}^2}$$

Оценки для плавленого кварца

$$\frac{n_2 I_{fil}}{r_{fil}^2} = \frac{e^2 N_{e0}}{2 n_0 \omega_0^2 m_e \varepsilon_0 r_{pl}^2}$$

$$\lambda = 800$$
 нм, $n_0 = 1,45$ (https://refractiveindex.info) $n_2 = 3,54 \ 10^{-16}$ см² /Вт $N_{\rm e0} = 4,45 \ 10^{19}$ см³ (численная оценка) $r_{\rm fil}/r_{\rm pl} = 1,8$
$$I_{\rm fil} = 3,7 \ 10^{13} \ {\rm BT/cm^2}$$
 (числ. решение)

Равенство нелинейных добавок к показателю преломления

$$\frac{n_2 I_{fil}}{r_{fil}^2} = \frac{e^2 N_{e0}}{2 n_0 \omega_0^2 m_e \varepsilon_0 r_{pl}^2} \quad \text{Если } \Delta n_{nl} = 0, \quad |\Delta n_{nl}| = 0$$

$$N_{e0} \sim \int R(I) dt$$

Если
$$\Delta n_{nl} = 0$$
, $|\Delta n_{Kr}| = |\Delta n_p|$

$$N_{e0} \sim \int R(I) dt$$

$$R(I) = \sigma_K I^K$$

$$I \approx I_{fil} \exp \left\{-\frac{r^2}{r_{fil}^2}\right\}$$

$$I \approx I_{fil} \exp \left\{-\frac{r^2}{r_{fil}^2}\right\} \qquad \qquad N_{e0} \sim \exp \left\{-\frac{K r^2}{r_{fil}^2}\right\} = \exp \left\{-\frac{r^2}{r_{pl}^2}\right\} \qquad \qquad r_{pl}^2 = r_{fil}^2 / K$$

$$K_{O2} = 8$$

Равенство нелинейных добавок к показателю преломления

Kasparian et al. APB, p.877 (2000)

$$|\Delta n_{\mathrm{Kr}}| = |\Delta n_{\mathrm{p}}|$$
 $n_{2}I = \frac{e^{2}N_{e}}{2 n_{0}\omega_{0}^{2}m_{e}\mathcal{E}_{0}}$ Эксперимент $R_{_{9N_{2}}} = 2.5 \cdot 10^{4}c^{-1}$ $R_{_{9O_{2}}} = 2.8 \cdot 10^{6}c^{-1}$ $R_{_{9O_{2}}} = 2.8 \cdot 10^{6}c^{-1}$

$$\alpha_{N_2} = 7.5 \quad (K = 11)$$

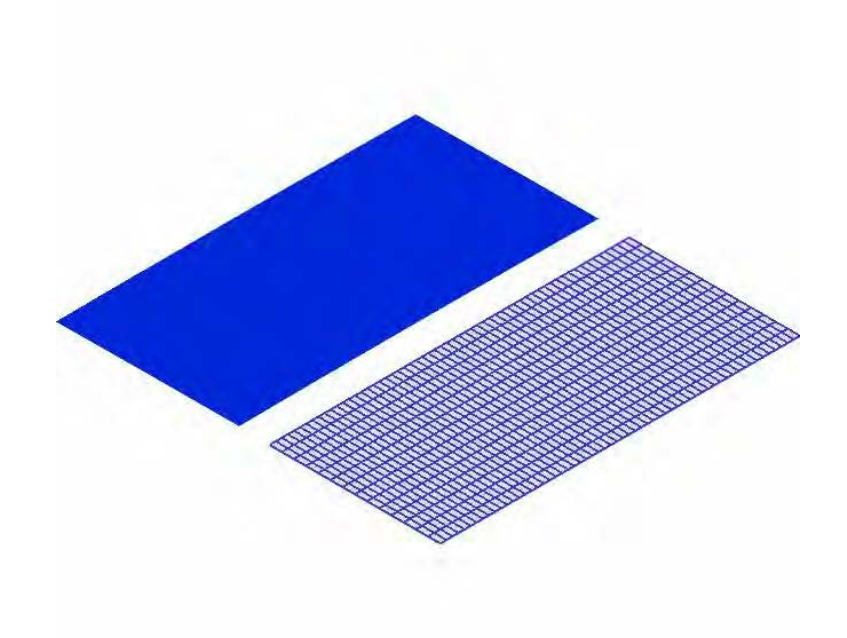
$$\alpha_{O_2} = 6.5 \quad (K = 8)$$

$$I_{\rm T} = 10^3 \, {\rm BT/cM^2}$$
 $n_2 I_{fil} = \frac{e^2 R_9 \left(\frac{I_{fil}}{I_T}\right)^{\alpha} N_0 \tau_{umn}}{2 \, n_0 \omega_0^2 m_s \varepsilon_0}$

$$I_{\rm fil} = 4.5 \, 10^{13} \, {\rm BT/cM^2}$$

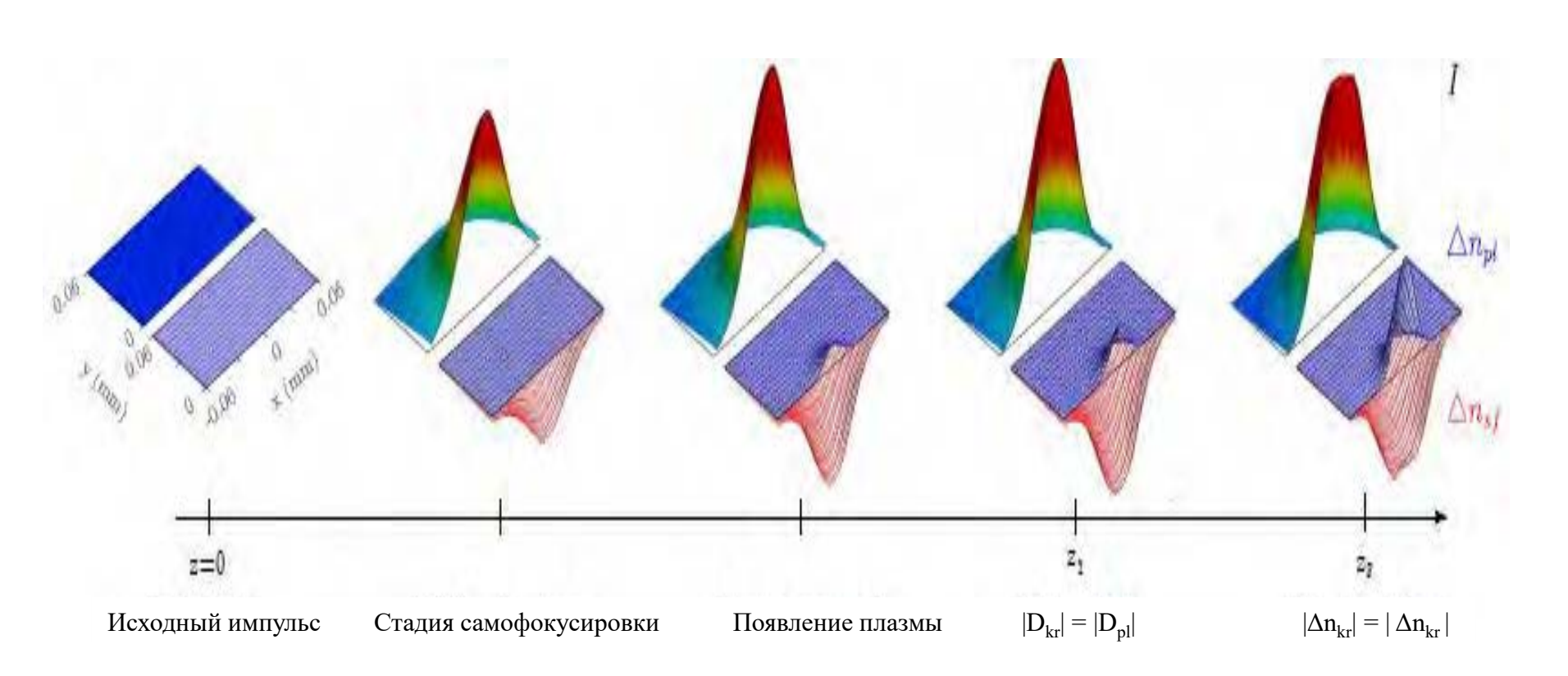
Динамический баланс керровской самофокусировки и плазменной дефокусировки

Изменение в поперечном сечении пучка распределений интенсивности l(r), приращений показателя преломления в среде, вызванных керровской $\Delta n_{kr} > 0$ и плазменной $\Delta n_{pl} < 0$ нелинейностями

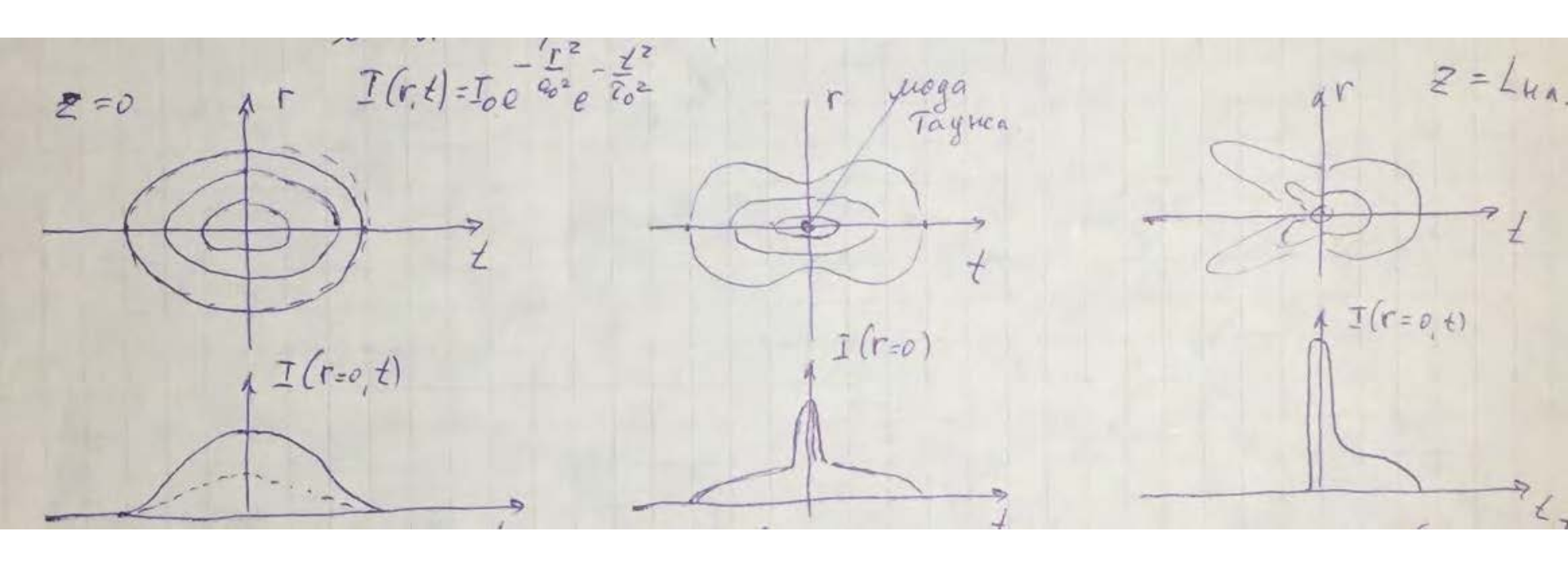


Динамический баланс керровской самофокусировки и плазменной дефокусировки

Изменение в поперечном сечении пучка распределений интенсивности l(r), приращений показателя преломления в среде, вызванных керровской $\Delta n_{kr} > 0$ и плазменной $\Delta n_{pl} < 0$ нелинейностями



Пространственно-временные распределения интенсивности в импульсе

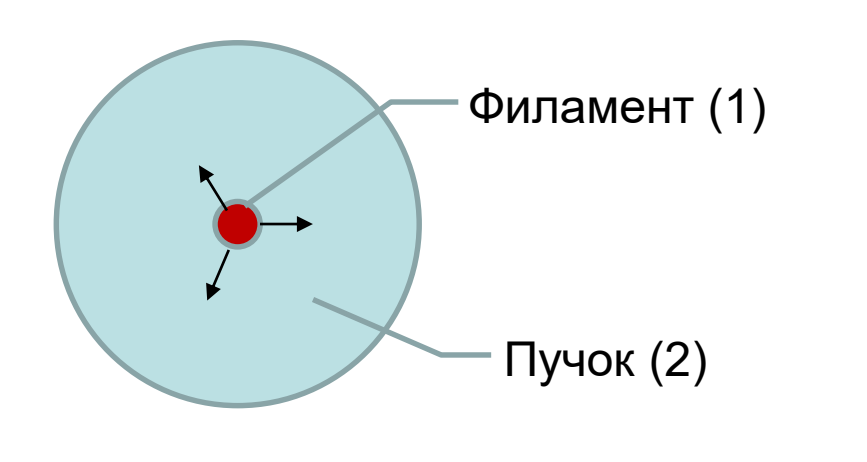


Начальное распределение

Независимая самофокусировка временных слоёв Ограничение интенсивности. Распад на кольца последующих слоёв

3.4. Аберрационная дефокусировка и кольцевые структуры в филаменте

Качественная картина образования колец в филаменте



Филамент (1)
$$A_1 = \frac{A_{10}}{\sqrt{\rho}} e^{-ik_\rho \rho} e^{-ikz}$$

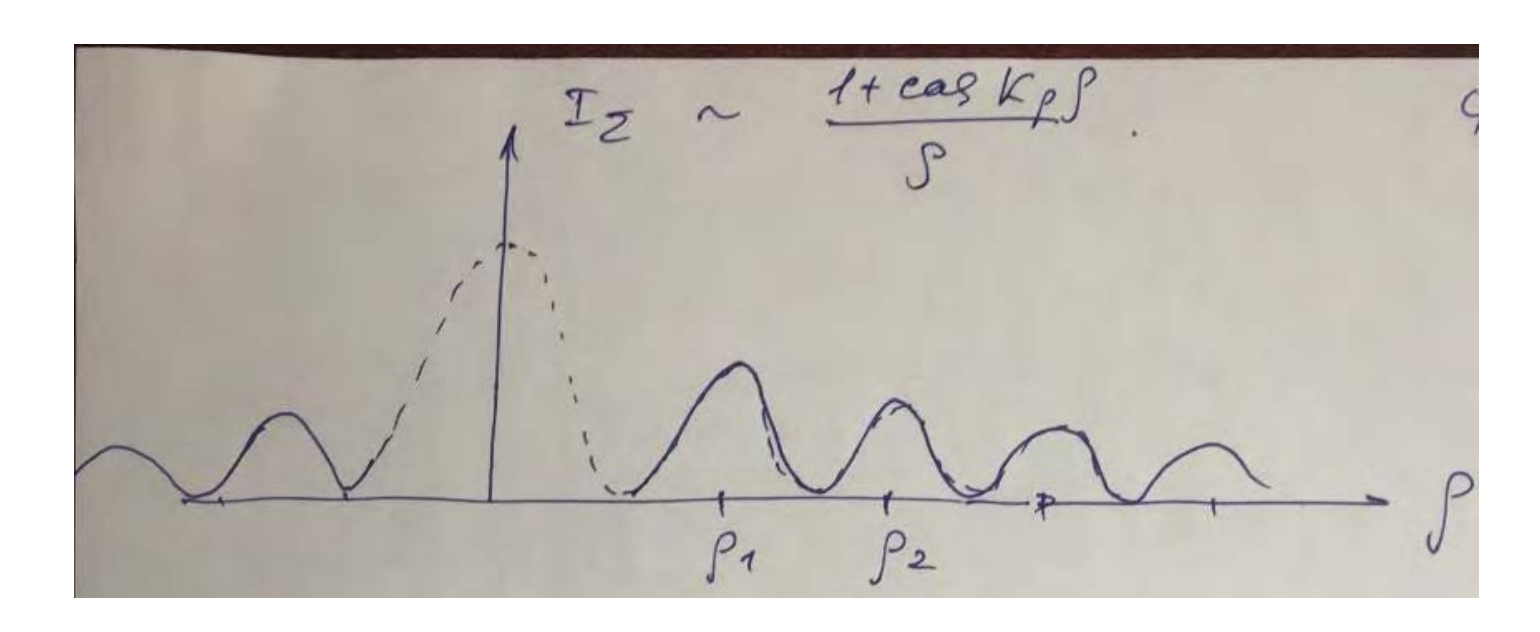
$$A_2 = \frac{A_{20}}{\sqrt{\rho}} e^{-ikz}$$

Пусть
$$A_{10} = A_{20} = A_0$$
 $A_{\Sigma} = \frac{A_0}{\sqrt{\rho}} e^{-ikz} (1 + e^{-ik_{\rho}\rho})$

$$I_{\Sigma} = \frac{2A_0^2}{\rho} (1 + \cos k_{\rho} \rho)$$

$$P_1 \qquad P_2$$

Качественная картина образования колец в филаменте



Условие максимума: $k_{
ho}
ho = 2\pi m$

$$\Delta \rho = \rho_{m+1} - \rho_m = \frac{2\pi}{k_{\rho}} \implies k_{\rho} = \frac{2\pi}{\Delta \rho}$$

$$\overrightarrow{k}_{\rho}$$
 \overrightarrow{k}_{z}

Угол между интерферирующими волнами $\, \alpha = \frac{k_{
m p}}{k_{z}} = \frac{2\pi}{\Delta
ho k_{z}} = \frac{\lambda}{\Delta
ho} \,$

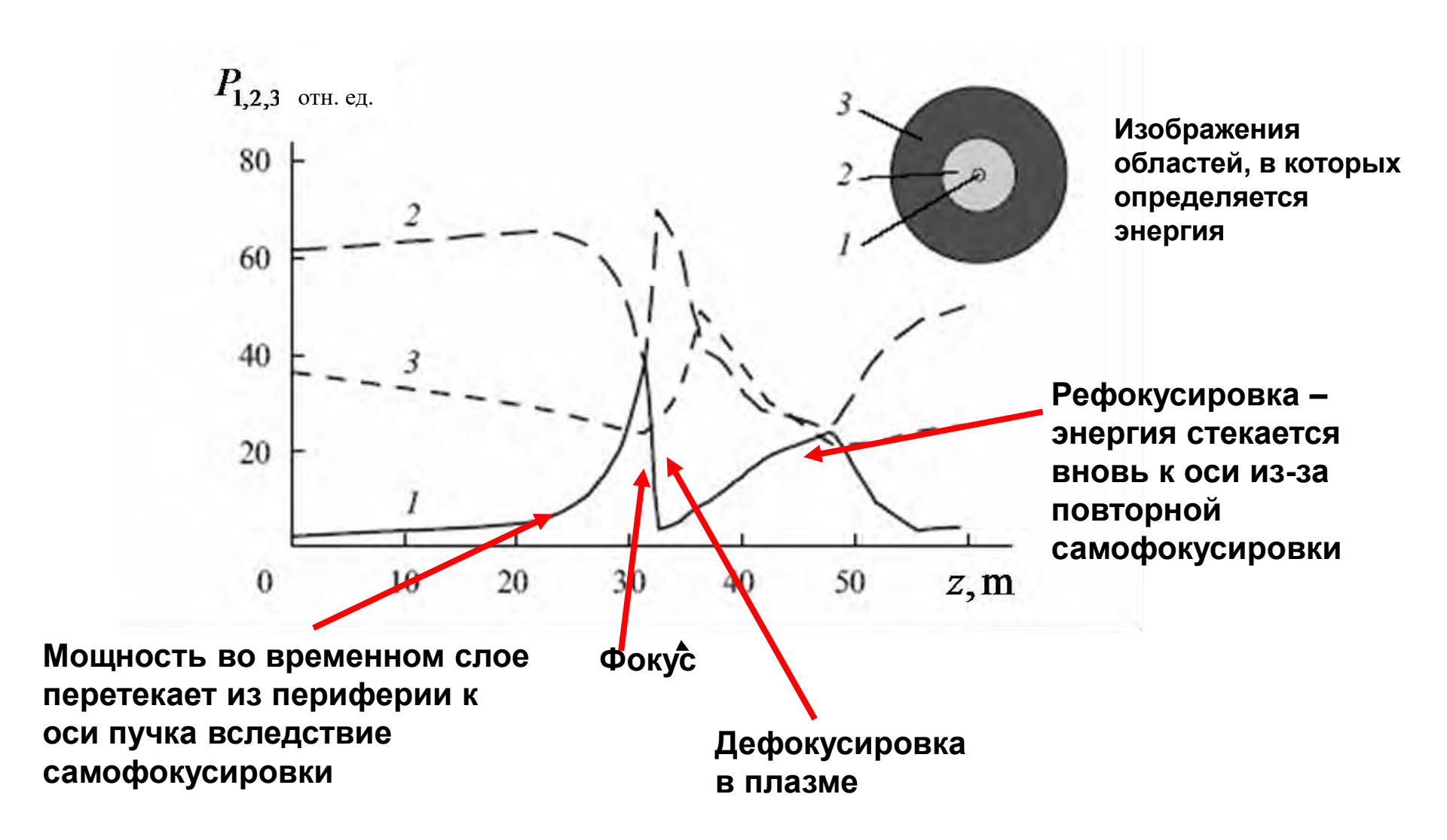
Для
$$P=14$$
 мДж (воздух) $\Delta \rho=0.5$ см и $\alpha=\frac{0.8\ 10^{-4}}{0.5}=1.6\ 10^{-4}$ рад

Поток энергии в поперечном сечении импульса

Р₁ – Энергия в приосевом круге радиусом 0,5 мм

Р₂ – энергия в кольце между радиусами 0,5 мм и 3,5 мм

Р₃ – энергия в круге с радиусами 3,5 мм и 8 мм

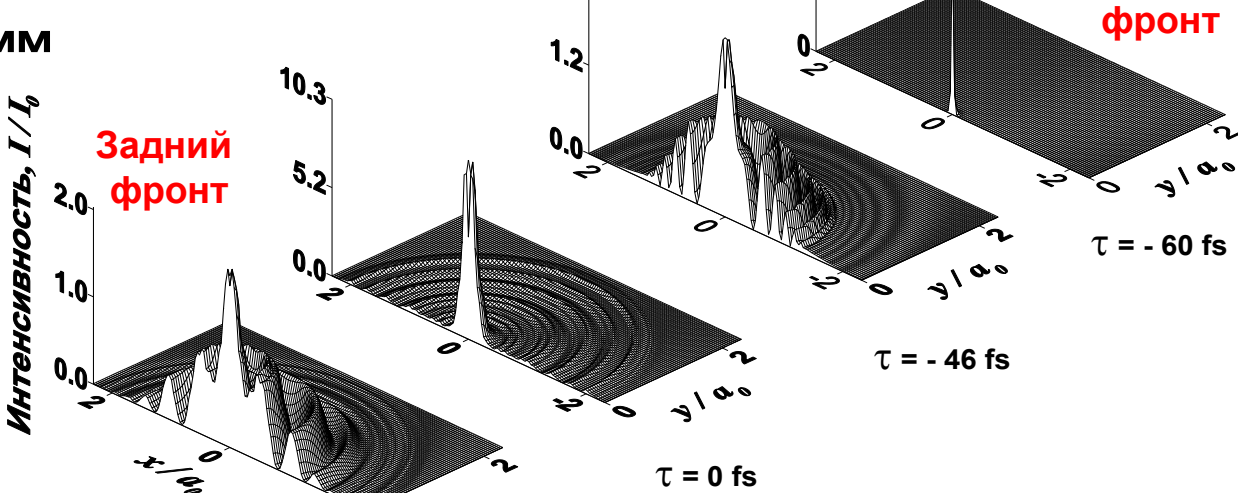


Динамика интенсивности импульса в филаменте

Распределение интенсивности в поперечном сечении. Воздух. $I_0 = 10^{11} \text{ BT/cm}^2$

$$ka_0^2 \approx 96 \text{ M}$$
 $a_0 = 3.5 \text{ MM}$

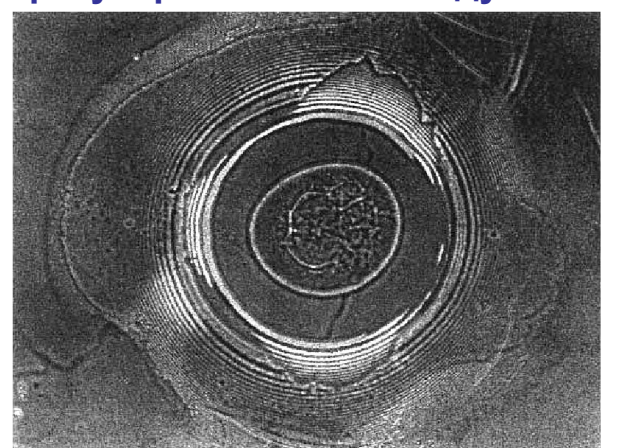
$$z = 0.36ka_0^2$$



2.5

563

Кольца на поверхности стекла, наведенные филаментом импульса, сфокусированного в воздухе



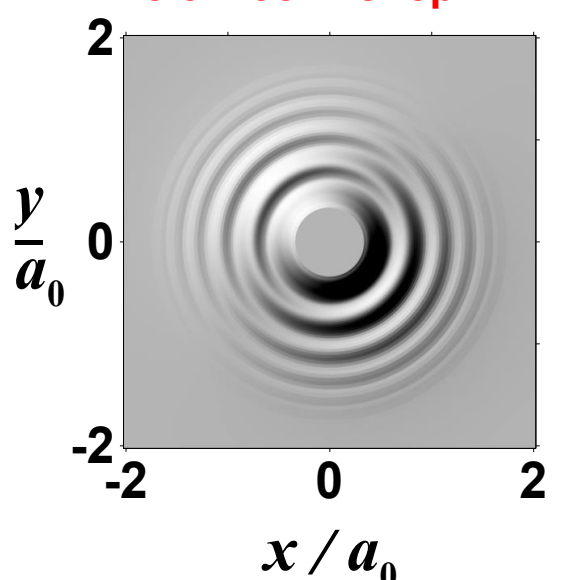
$$I_0 = 6.10^{11} \text{ W/cm}^2$$

 $2\tau_0 = 420 \text{ fs}$
 $a_0 = 3.5 \text{ mm}$
 $R_f = 1.5m$

 τ = 70 fs

Плотность энергии

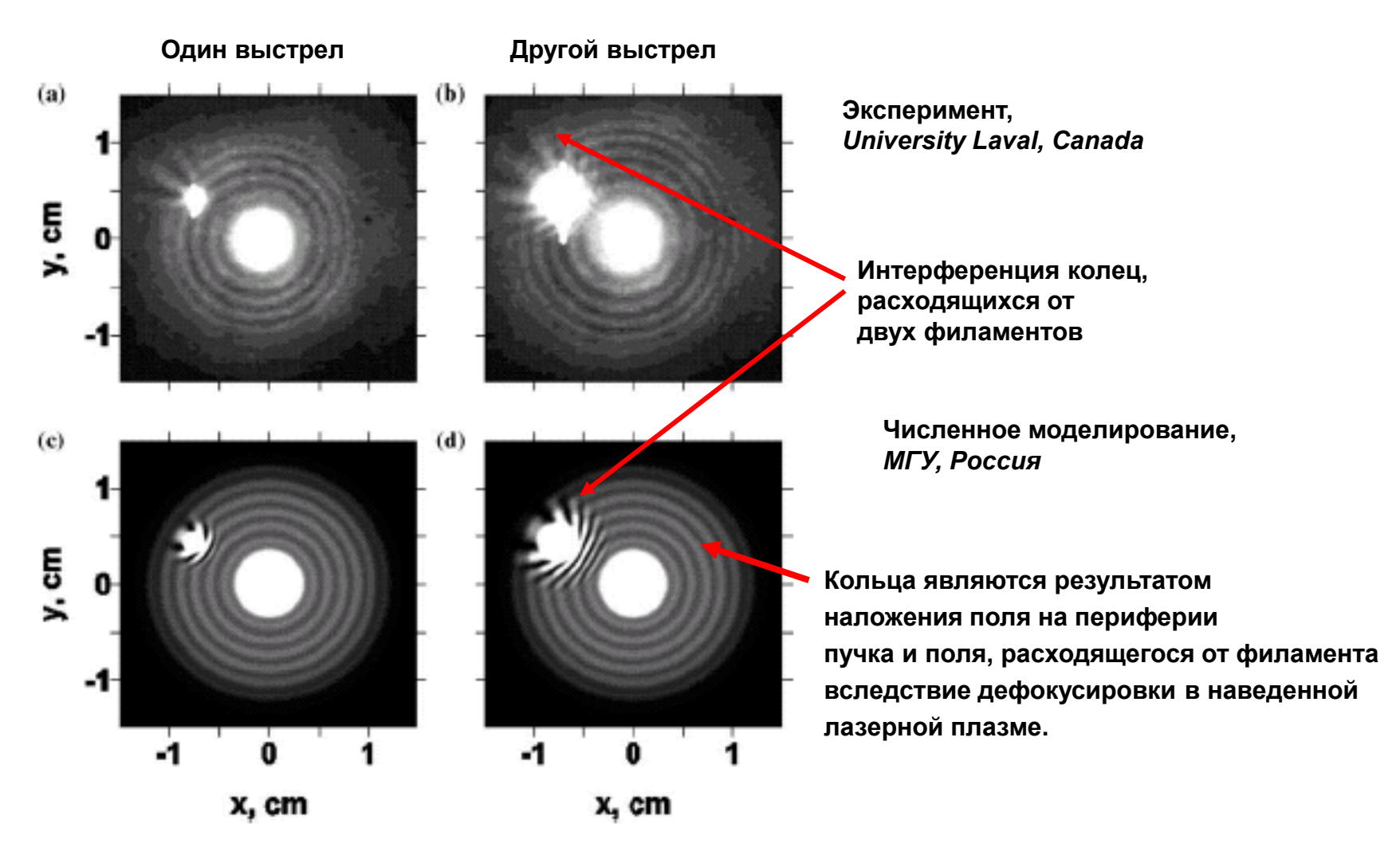
Передний



Chin S.L. et al. // Opt. Comm., 188, 181 (2001)

Интерференция кольцевых структур от двух филаментов

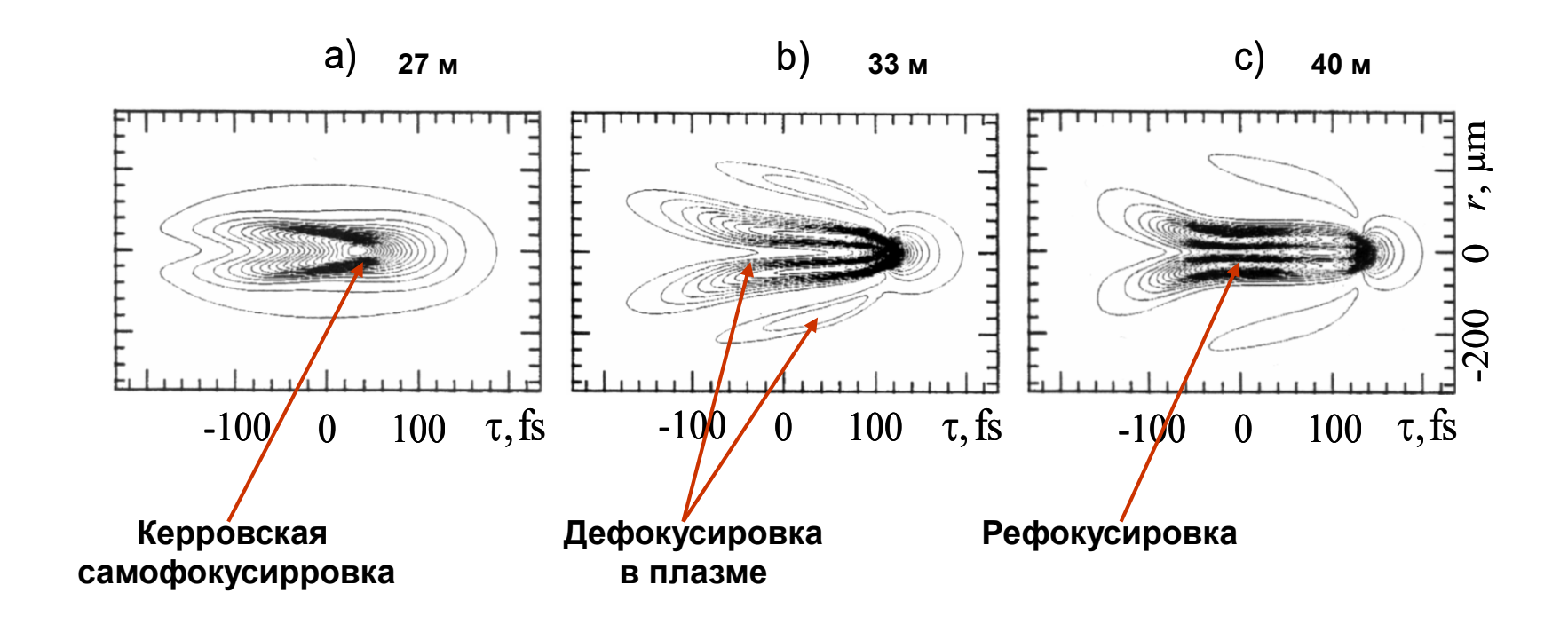
Энергия импульса 14 мДж, расстояние 87 м в воздухе.



S.L.Chin et al. Opt. Commun. 210, 329 (2002)

Эволюция пространственно-временного распределения интенсивности при филаментации в воздухе

Импульс длительностью 230 фс, пиковой мощностью 33 ГВт. Радиус пучка 3,5 мм.



Рост интенсивности в фокусе ограничивает дефокусировка в лазерной плазме.

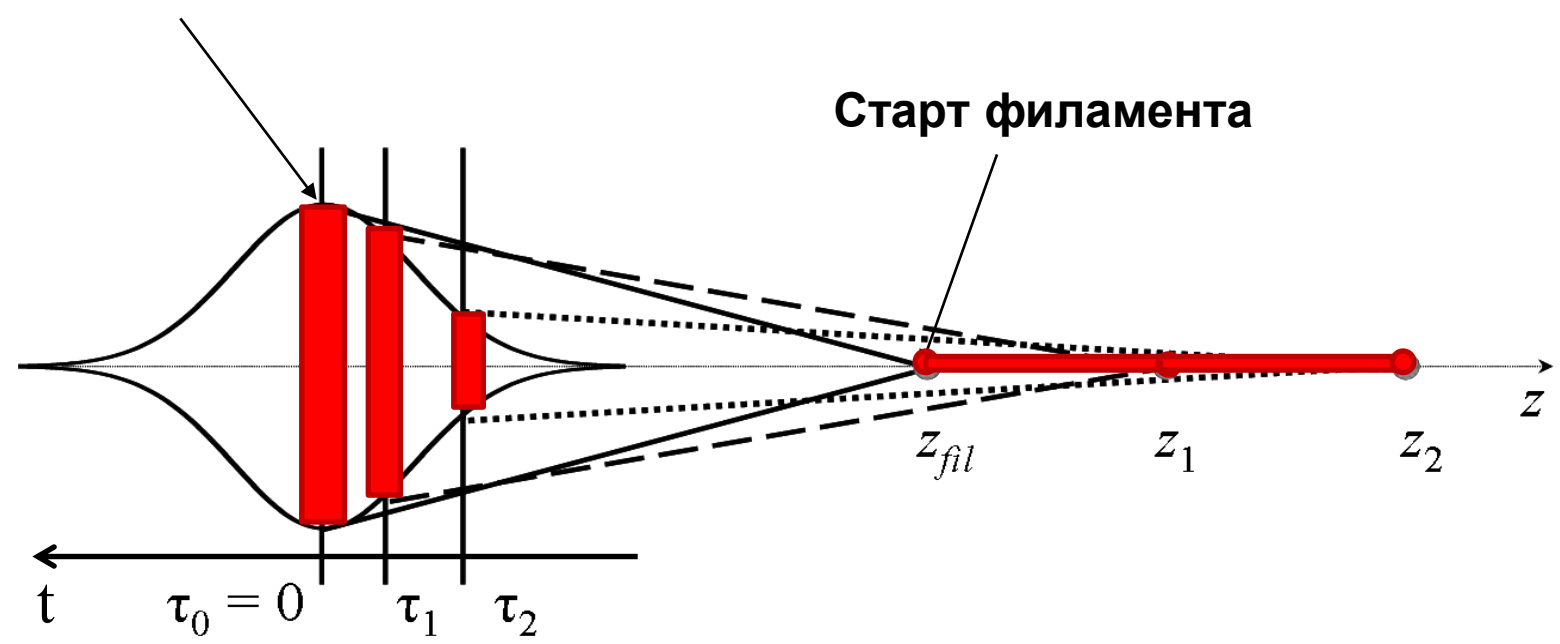
Вследствие этого возможна рефокусировка импульса.

3.4. Модель движущихся фокусов

Как образуется филамент? Модель движущихся фокусов

Луговой В.Н., Прохоров А.М., Письма в ЖЭТФ, (1968); УФН, (1973)

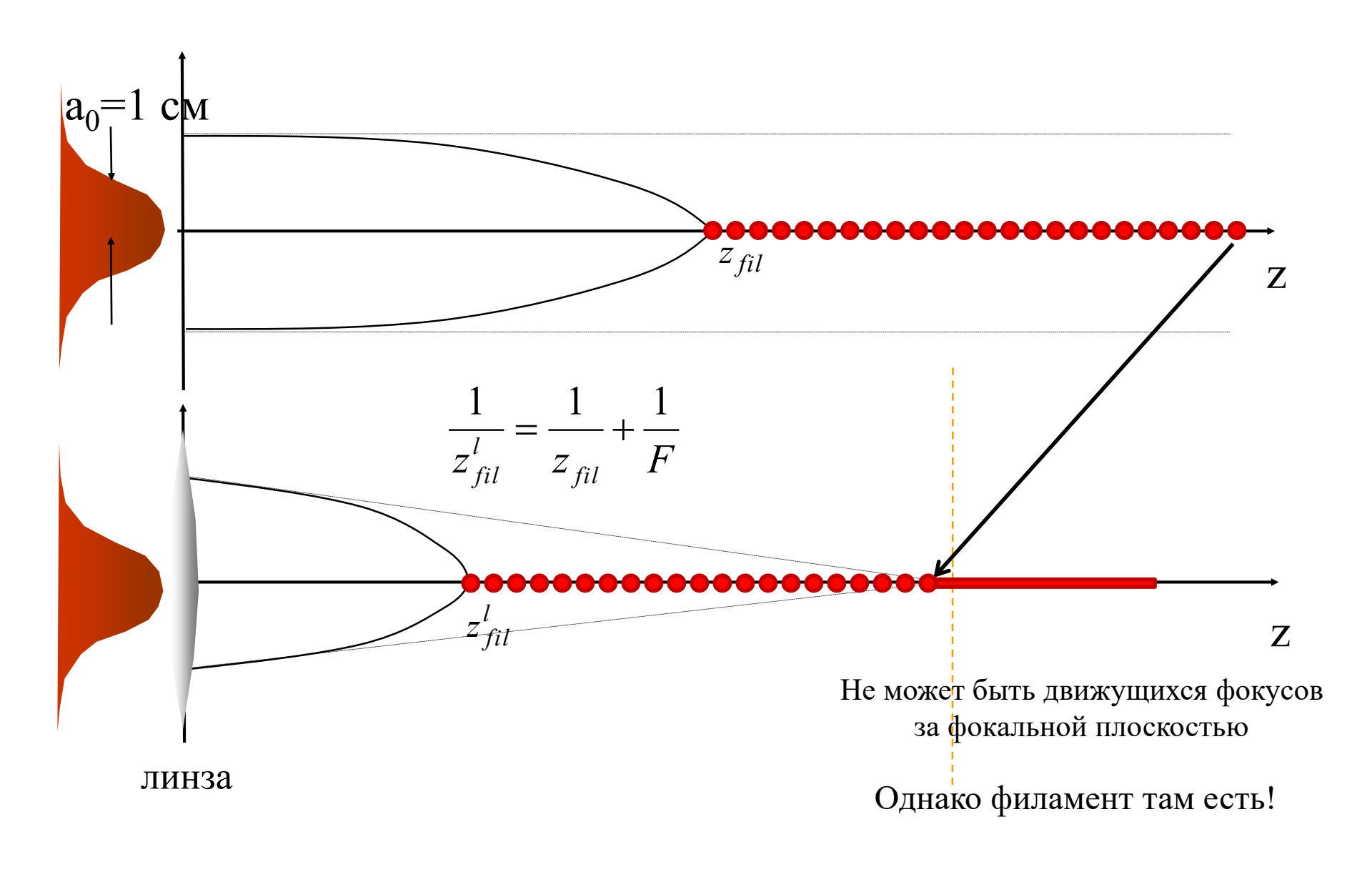
Слой с пиковой мощностью



Филамент – это непрерывная последовательность точек нелинейной фокусировки импульса.

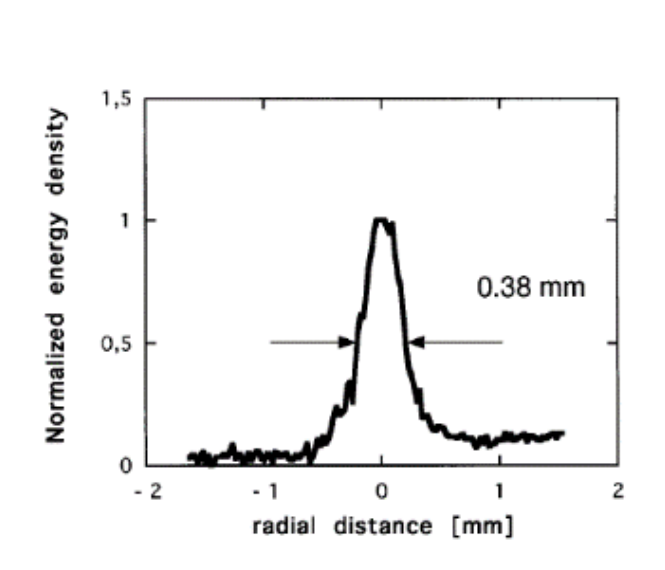
Достаточно ли этой модели?

Филамент в фокусированном пучке

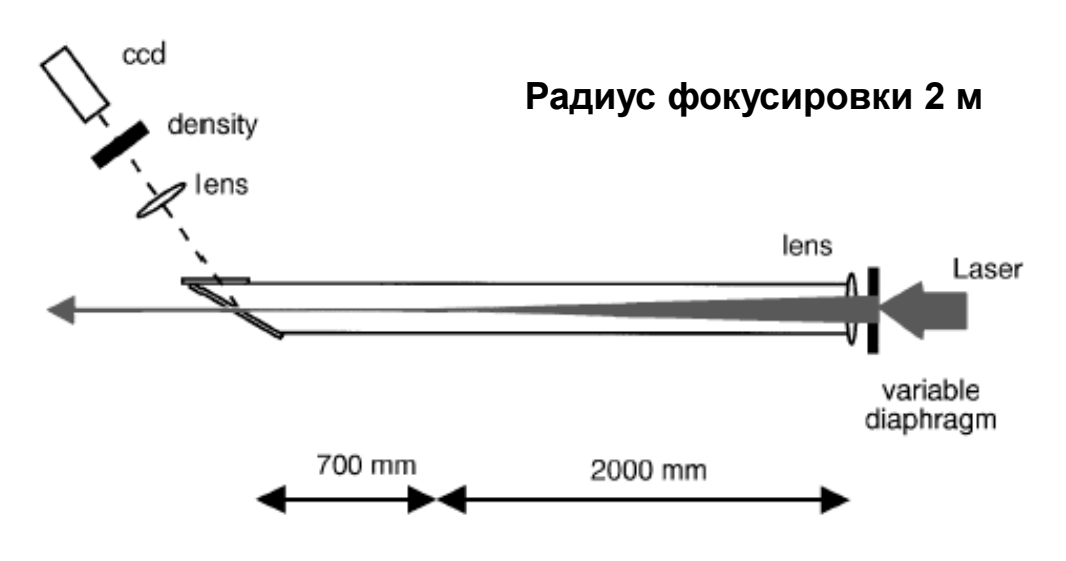


Дискуссия о модели движущихся фокусов в филаментации

Аномально протяженная область с энергией высокой плотности в воздухе: движущиеся фокусы или волноводное распространение?



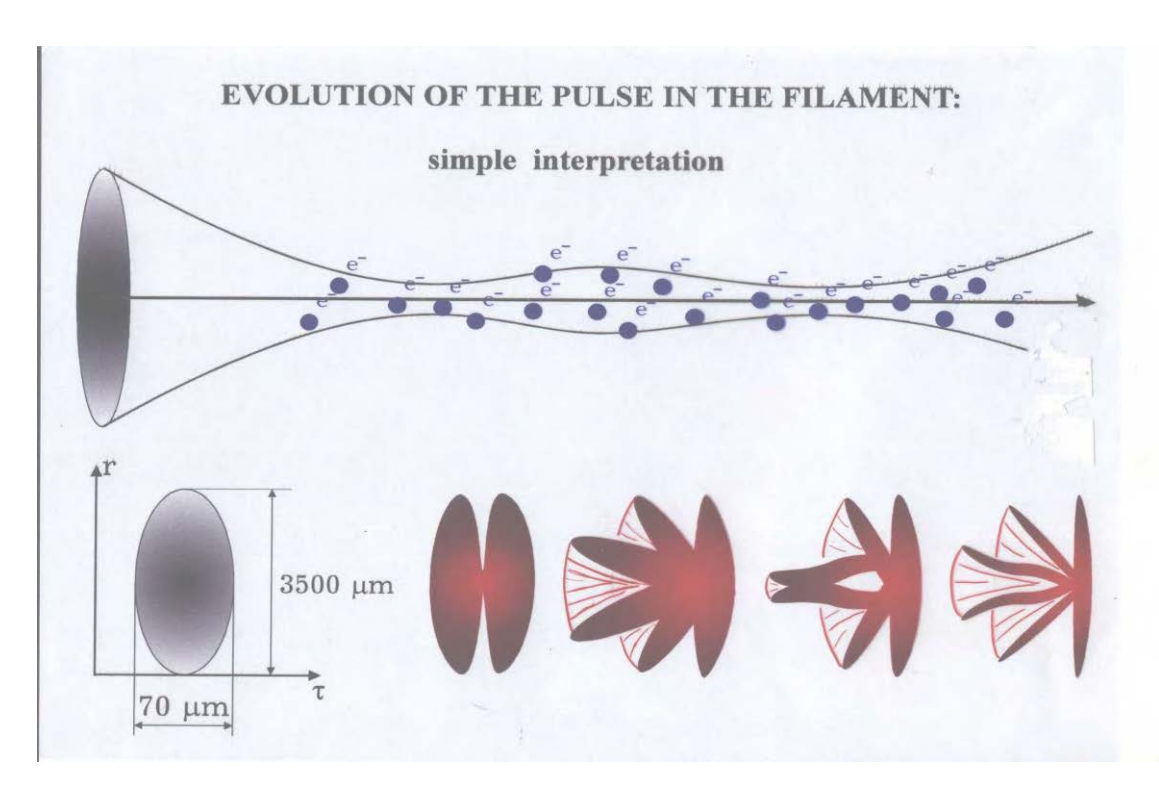
Распределение плотности энергии в импульсе после фокуса



H.R. Lange, G. Grillon, et al. // Opt. Lett. 23, 120 (1998)

Филамент существует за геометрическим фокусом линзы! Это противоречит модели движущихся фокусов? Нет, это – рефокусировка импульса за геометрическим фокусом линзы.

Модель движущихся фокусов и рефокусировка импульса



Многофокусная структура как результат рефокусировки

Brodeur A., et al. // Opt. Lett., **22**, 304 (1997).

Kosareva O.G., Kandidov V.P., et al. // J. Nonlinear Opt. Phys. and Mater., **6**, 485 (1997).

В отличие от «классической» модели «движущихся» фокусов рост интенсивности ограничивает не поглощение, а рефракция излучения в лазерной плазме. Вследствие этого возможна

рефокусировка импульса.